

К ОПРЕДЕЛЕНИЮ ШИРОТЫ ФОТОГРАФИЧЕСКИМ СПОСОБОМ

кие разности высот, вычисленные по моделям (B_0 , 10×10) аналитично расчетам для третьей колонки.

Таблица

$(\mathcal{B}\Phi, 16 \times 16) - (MTM-163)$	$(\mathcal{B}\Phi, 16 \times 16) - (\text{интеграл},$ но-дискретное)
$\sigma_{M}^{(30 \times 30^{\circ})}$	$\sigma_{M}^{(\overline{30} \times \overline{30}^{\circ})}$
44	77

ческих пирамид. Таким образом, подтверждается вывод [1], что при аппроксимации гравитационного поля планеты совокупностью потенциалов точечных масс точность повышается с увеличением числа точечных масс. Однако, судя по данным табл. 3, определенной закономерности в значениях Δs_{ij} в зависимости от числа точечных масс в моделях МТМ не обнаруживается. Это дает основание сделать вывод, что при построении моделей точечных масс для целей прогнозирования орбит ИСЛ необходимы другие критерии оценки модели в процессе определения ее параметров, а возможно и другой подход в их вычислении. Описание гравитационного поля планеты совокупностью потенциалов точечных масс имеет неконструктивный характер, выражавшийся прежде всего в невозможности построения универсальной модели. Следовательно, необходимо подбирать алгоритм и выполнять построение модели точечных масс с учетом конкретной цели ее применения.

1. Марченко А. Н. О некоторых теоретических аспектах представления геопотенциала потенциалом сферических масс // Изв. вузов. Геодезия и аэрофотосъемка. 1982. № 3. С. 51–57.
2. Церкаев А. Л., Волжанин С. Д. Об одном методе построения моделей точечных масс гравитационного поля планеты // Письма в Астрономический журнал. 1984. Т. 10. № 7. С. 549–553.
3. Bills B. G., Ferrari A. J. A harmonic analysis of lunar gravity // J. Geophys. Res. 1980. V. 85, N. 9. P. 1013–1025.

ставлял собой оптическую систему с эквивалентным фокусным расстоянием $F_s = 2,51$ м и относительным отверстием $D/F_s = 1/46$. На фотопленке ORWO NP-27 удавалось регистрировать звезды до 4,5 величины.

ставлял собой оптическую систему с эквивалентным фокусным расстоянием $F_s = 2,51$ м и относительным отверстием $D/F_s = 1/46$. На фотопленке *ORWO NP-27* удавалось регистрировать звезды до 4,5 величины.

В июле 1985 г. выполнены экспериментальные широтные определения по способу Талькотта с фотографической регистрацией прохождений звезд. При этом применялись астрономический теодолит УВ 2/2 с фотографической насадкой ($F_s = 2,36$ м), полевой хронорегистратор и аэрофотопленка Изоланхром, тип. 29. Общая светочувствительность системы повысилась до 5,2 звездной величины.

Результатом проведенного эксперимента стали девять приподнятых для измерений астронегативов, полученных из наблюдений четырех пар Талькотта в течение трех ночей. Обе звезды каждой пары экспонировали на один кадр — следы звезд на негативах представлялись пунктирными линиями (рис. 1). Перед началом и конце наблюдений выполняли привязку шкалы времени хронографа к шкале координированного времени UTC.

Измерение негативов выполняли с помощью микроскопа УИМ-23. Для каждого следа измеряли координаты X и Y десяти точек, расположенных симметрично относительно меридiana. По методу наименьших квадратов определяли уравнение аппроксимирующей прямой для каждого следа. Вычисляли координаты X_m , Y_m точки на линии следа звезды, соответствующей моменту прохождения звезды через меридиан $T_m=0$. Затем определяли уравнение прямой, проходящей через точку (X_m, Y_m) перпендикулярно следу звезды (аппроксимирующей прямой), и вычисляли раз-

стояние между точками пересечения этой прямой аппроксимирующих прямых — следов обеих звезд. Среднее арифметическое из двух полученных таким образом расстояний $L = (L_1 + L_2)/2$ исправляли поправкой за дисторсию оптической системы по формуле

$$L' = L + d \cdot \text{abs}(l_1^3 - l_2^3),$$

где d — коэффициент дисторсии; l_1, l_2 — расстояния от геометрического центра негатива до аппроксимирующих прямых (см. рис. 1).

Разность зенитных рас-

стояний наблюдаемых звезд пары в угловой мере вычислили из выражения $\Delta Z = L' \cdot M$, где M — масштаб снимка. Дальнейшую обработку выполняли по алгоритму, принятому при вычислении широты, определенной по способу Талькотта в произвольных малых часовых углах [6].

Если в ходе наблюдений не производить привязки к звездам, то для определения широты необходимо определить расстояния между точками каждого следа, которые вычисляются по известной формуле $f = 15\Delta t \cos \delta$, где Δt — временной интервал между двумя точками следа звезды, а δ — склонение звезды.

Исследование отдельных снимков звезд, экспонированных в меридиане и в элонгации, показало, что использованная оптическая система характеризуется ощущимой дисторсией. Вычисление коэффициента дисторсии d производили по формуле [5]

$$d = \frac{(\Delta X_1 + \Delta X_2)/2 - \Delta X_3}{3\Delta X_3 \cdot m(1-m)} - \frac{1}{3F_s^2},$$

где $\Delta X_i, i=1, 2, 3$ — это расстояния между точками следа одной звезды в элонгации, взятыми через равные промежутки времени (рис. 2). Величина $m = 0a/ab$. В результате вычислений получено значение $d = 0,16 \cdot 10^{-3} \text{ мм}/\text{мм}^3$.

При определении масштаба негативов по результатам обработки снимков звезд в элонгациях к измерениям принимались 10 точек каждого следа в центре снимка, где погрешности дисторсии можно пренебречь. Получено значение масштаба $M = 87,4''/\text{мм}$. Окончательное значение широты (девять пар Талькотта, $\varphi = 5,35''$) по внутренней сходимости характеризуется средней квадратической ошибкой $\sigma_\varphi = 0,18''$, что удовлетворяет требованиям действующей инструкции [6] $\sigma_\varphi \leq 0,30''$. Значение широты этого пункта из визуальных определений по программе первого

класса — $\varphi = 5,50'' \pm 0,30''$. Сводные данные результатов фотографических определений широты приводятся в таблице.

В заключение следует отметить, что в полевой астрономии реализация программы Талькотта фотографическим способом связана с трудностями наблюдения слабых звезд. Решение этой проблемы возможно путем применения более светочувствительных фотоматериалов или уменьшением эквивалентного фокусного расстояния оптической системы F_g астрономического теодолита (либо совместно обоими способами). Нетрудно подсчитать, что выигрыши

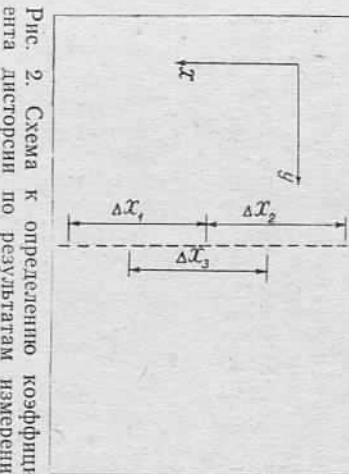


Рис. 2. Схема к определению коэффициента дисторсии по результатам измерений следа звезды в элонгации.

№ п/п	Дата	Сводные данные результатов определения широты фотографическим методом		φ_f
		Номер звезды по АЕ, яркость	N	
1	23/24.07.85 г.	486—4,0 ^m	495—4,3 ^m	4,62''
2	"	515—3,9	725—4,9	4,83
3	"	545—4,6	550—4,6	5,40
4	24/25.07.85 г.	454—4,3	460—4,9	5,19
5	"	486—4,0	495—4,3	5,94
6	"	515—3,9	725—4,9	5,90
7	"	545—4,6	550—4,6	4,63
8	25/26.07.85 г.	515—3,9	725—4,9	5,82
9	"	545—4,6	550—4,6	5,84

$\varphi_0 = 5,35''$

в одну звездную величину требует уменьшения F_g в $\sqrt{2,5}$ раз. Однако необходимо учитывать, что уменьшение F_g допустимо в определенных пределах, так как этот процесс приводит к более мелкому масштабу снимка, что имеет свои отрицательные последствия.

1. Коваленко В. А., Колдунов В. М. Об опытных астрономических наблюдениях фотографическим способом // Геодезия и картография. 1976. № 3. С. 22—26.
2. Коваленко В. А. Об обработке фотографических наблюдений одной звезды // Геодезия, картография и аэрофотосъемка. 1981. Вып. 34. С. 43—48.
3. Коваленко В. А., Колдунов В. М. О некоторых погрешностях фотографического метода полевых астроопределений // Геодезия, картография и аэрофотосъемка. 1983. Вып. 38. С. 40—46.
4. Колдунов В. М., Гончаренко Ю. Я. Полевой программный хронорегистратор для астрономических наблюдений фотографическим способом // Геодезия и картография. 1977. № 8. С. 13—17.
5. Курс астрофизики и звездной астрономии. М., 1973. Т. 1. 6. Руководство по астрономическим определениям. М., 1984.

Статья поступила в редакцию 02.04.86.